

ЛИТЕРАТУРА

1. **Numerical Methods for Non-Linear Optimization**/Ed. by F. A. Lootsma. L.—N.—Y.: Acad. Press, 1972.
2. **Численные методы условной оптимизации**/Под ред. Ф. Гилла, У. Мюррея. М.: Мир, 1977.
3. **Фиакко А., Мак-Кормик Г.** Нелинейное программирование. Методы последовательной безусловной минимизации. М.: Мир, 1972.
4. **Jehida K., Fujii Y.** An Interval Arithmetic Method for Global Optimization.—Computing, 1979, vol. 23, p. 1—23.
5. **Hesse R. A.** A Suboptimal Method for Global Solution of the Non-Linear Programming Problem.—Report N COD-1449-16. St. Louis, Missouri: Washington University, 1971.
6. **Zwart P. B.** Non-Linear Programming: Global use of the Lagrangian.—J. Optim. Theory and Appl., 1968, т. 18, с. 49.
10. **Корн Г., Корн Т.** Справочник по математике. М.: Наука, 1968, т. 1, с. 10.
11. **Линник Ю. В.** Метод наименьших квадратов и основы теории обработки наблюдений. М.: Физматгиз, 1962.
12. **Brent R. P.** Algorithms for Minimization Without Derivatives. Prentice-Hall, Englewood-Cliffs, 1973.
13. **Hill B. C., Schubert E. D., Nokes M. A., Michelson R. P.** Laser Interferometer Measurement of Changes in Crayfish Axon Diameter Concurrent with Action Potential.—Science, 1977, vol. 196, p. 426—428.

Поступила в редакцию 26 февраля 1980 г.

УДК 62.506 : 518.3

Б. Г. БЛАНК
(Ленинград)

АДАПТИВНЫЕ АЛГОРИТМЫ КУСОЧНО-ЛИНЕЙНОЙ АППРОКСИМАЦИИ НЕ СТРОГО МОНОТОННЫХ ФУНКЦИЙ РАСПРЕДЕЛЕНИЯ

В известных методах аппроксимации функций распределения [1—3] и других относительно последних обычно предполагается строгая монотонность, которая необходима для обеспечения требуемой точности при ограничениях на число участков аппроксимации. Однако строгая монотонность не всегда имеет место, в особенности при распределениях, более сложных, чем унимодальные. Применение в указанных случаях стандартных методов аппроксимации может привести к значительному числу интервалов разбиения области определения функции распределения либо, как упоминалось выше, к значительной погрешности при ограничениях на число участков аппроксимации. Последнее обстоятельство связано с ограничениями на объем используемой памяти ЭВМ, что в ряде случаев представляется весьма существенным.

В настоящей работе рассматривается задача наилучшей в отношении среднеквадратической погрешности кусочно-линейной аппроксимации функций распределения, главным образом не строго монотонных, при ограничениях на число участков аппроксимации либо на величину допустимой погрешности.

К рассматриваемой задаче может приводить также задача выделения информативных участков экспериментальных кривых в случаях, когда

экспериментальные данные предварительно интегрируются, а результат рассматривается как вариационный ряд.

Поставим в соответствие членам вариационного ряда экспериментальных данных $x_1, x_2, \dots, x_l, \dots, x_{l+k}, \dots, x_{l+m}, \dots, x_N$ последовательность эмпирических точек (x_i, y_i) , $i = 1, 2, \dots, N$, таких, что $y_i = i/N$. Тогда зависимость $y = y(x)$ является соответствующей эмпирической функцией распределения и задача состоит в аппроксимации этой зависимости.

Выделим некоторый участок функции y , описываемый точками (x_i, y_i) , где $i \in [l, l+m]$. Как известно [4], линейной функцией наилучшего среднеквадратического приближения к величине y на данном участке является эмпирическая прямая регрессии, определяемая уравнением

$$\Lambda(x) = r(S_y/S_x)(x - \bar{x}) + \bar{y},$$

где $r = \mu/(S_x S_y)$ — эмпирический коэффициент корреляции; μ — эмпирический корреляционный момент; $\bar{x}, \bar{y}, S_x, S_y$ — соответственно эмпирические средние и среднеквадратические отклонения на указанном участке. При этом для суммы квадратов отклонений справедливо соотношение

$$\sum_{i=l}^{l+m} v_i^2 = \sum_{i=l}^{l+m} (y_i - \Lambda(x_i))^2 = m S_y^2 (1 - r^2).$$

Разбиваем выделенный участок произвольным образом на две части так, что интервал области значений функции $y[l/N, (l+m)/N]$ распадается на два подынтервала $[l/N, (l+k)/N]$ и $[(l+k+1)/N, (l+m)/N]$, и на каждой части строим линейные функции наилучшего среднеквадратического приближения к y , обозначая их $\Lambda'(x)$ и $\Lambda''(x)$ соответственно.

Тогда для величины уменьшения погрешности приближения вследствие разбиения участка аппроксимации имеем

$$\begin{aligned} \delta t_{\text{разб}}^2 &= \sum_{i=l}^{l+m} (y_i - \Lambda(x_i))^2 - \sum_{i=l}^{l+k} (y_i - \Lambda'(x_i))^2 - \sum_{i=l+k+1}^{l+m} (y_i - \Lambda''(x_i))^2 = \\ &= m \left[\left(S_y^2 - \frac{k}{m} S_y^2 - \left(1 - \frac{k+1}{m} \right) S_y'^2 \right) - \left(S_y'^2 r'^2 - \frac{k}{m} S_y'^2 r'^2 - \left(1 - \frac{k+1}{m} \right) S_y''^2 r''^2 \right) \right]. \end{aligned} \quad (1)$$

Здесь S_y', r' относятся к первой, а S_y'', r'' — ко второй части исходного участка.

Очевидно, что разбиение, доставляющее максимальное значение полученному выражению, является наилучшим. Однако поиск такого разбиения посредством (1) весьма трудоемок (так как обычно m достаточно велико). С целью определения более эффективного способа поиска оптимального разбиения рассмотрим (1) подробнее.

Для эмпирического корреляционного момента

$$\begin{aligned} \mu &= \frac{1}{m} \sum_{i=l}^{l+m} (x_i - \bar{x})(y_i - \bar{y}) = \frac{1}{m} (x_i - \bar{x}' + \bar{x}' - \bar{x})(y_i - \bar{y}' + \bar{y}' - \bar{y}) + \\ &+ \frac{1}{m} \sum_{i=l+k+1}^{l+m} (x_i - \bar{x}'' + \bar{x}'' - \bar{x})(y_i - \bar{y}'' + \bar{y}'' - \bar{y}) = \frac{k}{m} \mu' + \left(1 - \frac{k+1}{m} \right) \mu'' + \\ &+ \frac{k}{m} (\bar{x}' - \bar{x})(\bar{y}' - \bar{y}) + \left(1 - \frac{k+1}{m} \right) (\bar{x}'' - \bar{x})(\bar{y}'' - \bar{y}). \end{aligned}$$

Так как $\bar{y} = (l+m/2)/N$, $\bar{y}' = (l+k/2)/N$, $\bar{y}'' = (l+(m+k+1)/2)/N$, то при достаточно больших k и m справедливо соотношение

$$\mu \approx (k/m) \mu' + (1 - (k+1)/m) \mu'' + (m/2N)(k/m)(1 - (k+1)/m)(\bar{x}'' - \bar{x}'). \quad (2)$$

Для эмпирической дисперсии аналогично можно получить

$$S_x^2 = \frac{1}{m} \sum_{i=1}^{l+m} x_i^2 - \frac{m+2}{m} \bar{x}^2 \simeq \frac{k}{m} S_x'^2 + \left(1 - \frac{k+1}{m}\right) S_x''^2 + \frac{k}{m} \left(1 - \frac{k+1}{m}\right) (\bar{x}'' - \bar{x}')^2. \quad (3)$$

Введя обозначения $k/m = \alpha$, $1 - (k+1)/m = \beta$, $\bar{x}'' - \bar{x}' = \xi$, из (2) имеем

$$r^2 S_x^2 S_y^2 - \alpha^2 r'^2 S_y'^2 S_x'^2 - \beta^2 r''^2 S_x''^2 S_y''^2 = \frac{m}{N} \alpha \beta \xi \left(\mu - \frac{m}{4N} \alpha \beta \xi \right) + 2\alpha \beta r' r'' S_x' S_x'' S_y' S_y''. \quad (4)$$

С другой стороны, нетрудно убедиться в справедливости тождества

$$\begin{aligned} r^2 S_x^2 S_y^2 - \alpha^2 r'^2 S_x'^2 S_y'^2 - \beta^2 r''^2 S_x''^2 S_y''^2 &= (S_x^2 + \alpha S_x'^2 + \beta S_x''^2) (r^2 S_y^2 - \alpha r'^2 S_y'^2 - \\ &- \beta r''^2 S_y''^2) - (\alpha S_x'^2 + \beta S_x''^2) r^2 S_y^2 + S_x^2 (\alpha r'^2 S_y'^2 + \beta r''^2 S_y''^2) + \alpha \beta (S_y'^2 S_x'^2 r'^2 - \\ &- S_y''^2 S_x''^2 r''^2) = (S_x^2 - \alpha \beta \xi^2) (r^2 S_y^2 - \alpha r'^2 S_y'^2 - \beta r''^2 S_y''^2) + \alpha \beta \xi^2 r^2 S_y^2 + \\ &+ \alpha \beta (S_y'^2 S_x'^2 r'^2 - S_y''^2 S_x''^2 r''^2). \end{aligned}$$

Тогда с учетом (4)

$$\begin{aligned} S_y^2 r^2 - \alpha^2 S_y'^2 r'^2 - \beta^2 S_y''^2 r''^2 &= \frac{m}{N} \alpha \beta \xi \left(\mu - \frac{m}{4N} \alpha \beta \xi \right) - \alpha \beta \xi^2 r^2 S_y^2 - \\ &\rightarrow \frac{S_x^2 - \alpha \beta \xi^2}{S_x^2 - \alpha \beta \xi^2} \\ &\rightarrow \frac{-\alpha \beta (S_y'^2 S_x'^2 r'^2 - S_y''^2 S_x''^2 r''^2)^2}{S_x^2 - \alpha \beta \xi^2}. \end{aligned} \quad (5)$$

Аналогично (3) имеем $S_y^2 - \frac{k}{m} S_y'^2 - \left(1 - \frac{k+1}{m}\right) S_y''^2 \simeq \alpha \beta \frac{m^2}{4N^2}$. Учитывая, теперь, что $\mu = r S_x S_y$, $S_y \simeq m/2\sqrt{3}N$, и пренебрегая последним слагаемым в числителе (5), после несложных преобразований получаем

$$\delta v_{\text{разб}}^2(\xi, \alpha \beta) \simeq \frac{m^3 \alpha \beta \left(S_x - \frac{r}{\sqrt{3}} \xi \right)^2}{4N^2 (S_x^2 - \alpha \beta \xi^2)} = \frac{\alpha \beta \xi^2 m^3 \left(\frac{S_x}{\xi} - \frac{r}{\sqrt{3}} \right)^2}{4N^2 (S_x^2 - \alpha \beta \xi^2)}. \quad (6)$$

Здесь от каждого конкретного разбиения зависят только α , β и рекуррентно вычисляемая величина ξ и на этом могут быть основаны способы поиска оптимального разбиения.

Для частной производной по ξ имеем

$$\frac{\partial \delta v_{\text{разб}}^2}{\partial \xi} = \frac{m^2 \alpha \beta S_x \left(S_x - \frac{r}{\sqrt{3}} \xi \right) \left(\alpha \beta \xi - \frac{r}{\sqrt{3}} S_x \right)}{2N^2 (S_x^2 - \alpha \beta \xi^2)^2}.$$

Из соотношения (2) следует $\alpha \beta \xi - (r/\sqrt{3}) S_x \leq 0$, поэтому знак производной зависит от знака величины $S_x - (r/\sqrt{3}) \xi$.

В рассматриваемом случае существенно не строго монотонных функций распределения, когда внутри выделенного участка существует, по крайней мере, одна значительная область постоянства функции; величина $\delta v_{\text{разб}}^2$ возрастает с увеличением ξ , поскольку $S_x - (r/\sqrt{3}) \xi \leq 0$.

Таким образом, разбиение, доставляющее максимальное значение величине $\alpha \beta \xi^2 = k(m-k-1)(\bar{x}'' - \bar{x}')^2/m^2$, совпадает или достаточно близко к оптимальному.

Исходя из этого для разбиения выделенного участка аппроксимируемой функции, можно предложить процедуру, основанную на вычислении значений величины $k(m-k-1)(\bar{x}'' - \bar{x}')^2$ для всех $k(k=1, 2, \dots$

$$\dots, m-1) \text{ и реализации условия}$$

$$z(m-z-1)(\bar{x}_z'' - \bar{x}_z')^2 = \max_k k(m-k-1)(\bar{x}'' - \bar{x}')^2; z, k \in [1, m-1], \quad (7)$$

где z — граница окончательного разбиения интервала, причем в процессе вычислений могут использоваться рекуррентные соотношения

$$\bar{x}_h' = \frac{k\bar{x}_{h-1}' + x_{l+h}}{k+1}, \quad \bar{x}_h'' = \frac{(m-k+1)\bar{x}_{h-1}'' - x_{l+h}}{m-k}, \quad \bar{x}_0' = \bar{x}_0'' = \bar{x}.$$

Заметим, что при $x_{l+1} - x_l = \text{const}$, $t \in [l, l+m-1]$ указанное условие приводит к разбиению на равновероятные интервалы, а при наличии внутри разбиваемого участка отдельной значительной области постоянства эмпирической функции распределения ($x_{h+1} - x_h \gg x_{l+1} - x_l$; $h, t \in [l, l+m-1]$) граница разбиения, согласно (7), совпадает с точкой существования указанной области постоянства ($z = h$).

Задача наилучшего среднеквадратического приближения не строго монотонных функций распределения при заданном числе η участков аппроксимации может быть решена поэтапным применением предложенной процедуры.

Алгоритм состоит в следующем. На каждом из $T = E(\log_2 \eta)$ этапов, где $E(\epsilon)$ означает целую часть ϵ , проводится последовательный просмотр вариационного ряда и разбиение интервалов области значений предыдущего этапа в соответствии с (7). На первом этапе осуществляется разбиение всей области значений $[0, 1]$ на две части. На последнем $(T+1)$ -м этапе проводится разбиение $\rho = \eta - 2^T$ интервалов с наибольшей суммой квадратов отклонений от соответствующих линейных функций.

$$y_j(x) = (A_j/N)(x - x_{\text{нач } j}) + z_j/N, \quad x \in [x_{\text{нач } j}, x_{\text{нач } j+1}], \quad j = 1, 2, \dots, \eta,$$

где

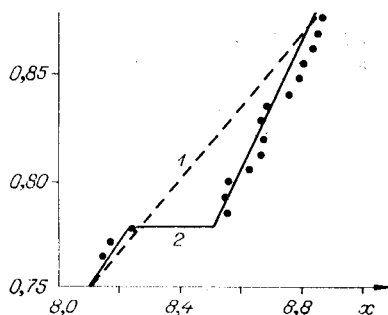
$$A_j = \frac{\sum_i x_i - \sum_i x_i \sum_i i/(z_{j+1} - z_j)}{\sum_i x_i^2 - (\sum_i x_i)^2 / (z_{j+1} - z_j)}, \quad i \in [z_j + 1, z_{j+1}];$$

$$x_{\text{нач } j} = \left(z_j - \sum_i i/(z_{j+1} - z_j) \right) A_j + \sum_i x_i / (z_{j+1} - z_j);$$

z_j/N — интервалы разбиения области значений. Величины $x_{\text{нач } j}$ задают разбиение области определения функции распределения.

Описанный алгоритм реализован на ЭВМ «Мир-2» и апробирован при аппроксимации не строго монотонной кусочно-линейной функции распределения со случайными длинами областей постоянства и интервалов области значений, соответствующих линейным участкам. На рисунке представлен участок эмпирической функции распределения, соответствующий элементам x_i , $i = 106, \dots, 128$, вариационного ряда из 140 элементов, полученного с помощью генератора случайных чисел с не строго монотонной кусочно-линейной функцией распределения. После разбиения данного участка в соответствии с условием (7) и замены одной линейной функции наилучшего среднеквадратического приближения (прямая 1) двумя (ломаная 2) остаточная сумма квадратов отклонений, умноженная на $N^2 = 19\,600$, уменьшилась со 137,73 до 49,04. Последнее значение действительно оказалось минимальным для всех разбиений участка. При $\eta = 15$ остаточная сумма квадратов, умноженная на N^2 , в целом для аппроксимируемой функции в случае разбиения по условию (7) составила 132,2, тогда как в случае разбиения на равновероятные интервалы — 326,9. При $\eta = 7$ соответствующие значения остаточной суммы оказались равными 251,2 и 625,8.

Задача аппроксимации не строго монотонных функций распределения минимальным числом линейных функций при заданной точности так-



разбиению подвергается один или ограниченное число интервалов с наибольшими значениями остаточных сумм квадратов отклонений. Завершающим является этап, после которого погрешность аппроксимации не превосходит заданной.

Предложенные алгоритмы легко реализуются на ЭВМ и эффективно дополняют известные средства построения функций распределения по экспериментальным данным, особенно при сложных многомодальных распределениях.

ЛИТЕРАТУРА

1. Цыпкин Я. З. Применение метода стохастической аппроксимации к оценке неизвестной плотности распределения по наблюдениям.— Автоматика и телемеханика, 1966, № 3.
2. Битус А. К., Овсянников В. А. Адаптивные алгоритмы измерения законов распределения случайных процессов.— В кн.: Методы представления и аппаратный анализ случайных процессов. (Труды V Всесоюз. симпозиума). Ленинград — Вильнюс, 1972, с. 126—131.
3. Бланк Б. Г. Адаптивный алгоритм кусочной аппроксимации плотности вероятностей.— АВТ, 1977, № 3.
4. Крамер Г. Математические методы статистики. М.: Мир, 1975.

Поступила в редакцию 13 апреля 1979 г.

УДК 517.512.2

Т. М. БАНДМАН

(Новосибирск)

КЛАСС ФУНКЦИЙ, ДОПУСКАЮЩИХ ВОССТАНОВЛЕНИЕ ПО ФАЗЕ ИХ ПРЕОБРАЗОВАНИЯ ФУРЬЕ

Известная фазовая проблема в оптике заключается в следующем: как восстановить функцию $f(x)$, заданную на конечном интервале действительной оси, по модулю $\varphi(\eta)$ ее преобразования Фурье $\hat{f}(\eta) = \varphi(\eta)e^{i\psi(\eta)}$. Если функция $f(x)$ четная или продолжение $\hat{f}(z)$ на комплексную плоскость ее преобразования Фурье $\hat{f}(\eta)$ не имеет корней в верхней или нижней полуплоскости, эта проблема решается однозначно [1—3]. Но не менее важна и обратная задача: определение функции $f(x)$ по фазе $\psi(\eta)$ ее преобразования Фурье. Она встречается, например, в вопросах синтеза фазовых фильтров, наблюдения предмета через полупрозрачную среду и др. В этом случае даже для четных функций $f(x)$ однозначное восстановление их по фазе $\psi(\eta)$, вообще говоря, невозможно.

В этой статье описан класс H четных функций $f(x)$, у которых все корни преобразований Фурье $\hat{f}(z)$ лежат на действительной оси. Кроме того, все функции этого класса однозначно восстанавливаются не только по модулю, но и по фазе их преобразования Фурье.